

Doxylamin

$C_{17}H_{22}N_2O$ Mol.-Gew. ≈ 270

Antihistaminicum; u.a. enthalten in Lenotan^R, Horeprine^R u.a.

Extraktion

aus alkali. Lösung mit u.a. Chloroform

DC

Als Fließmittel dienten (ml; Ammoniak 250 g/kg):

| | |
|--|-------------|
| A Benzol/Dioxan/Ammoniak (Oberphase) | 60 + 35 + 5 |
| B Essigester/Methanol/Ammoniak | 85 + 10 + 5 |
| C Chloroform/Ethanol/Ammoniak (Unterphase) | 80 + 15 + 5 |
| D Chloroform/n-Heptan/Methanol | 85 + 10 + 5 |
| E Toluol/Ethanol/Ammoniak | 80 + 20 + 1 |
| F Chloroform/Methanol/Ammoniak | 80 + 20 + 1 |
| G Methanol/Ammoniak | 100 + 1.5 |

Fließmittel E erwies sich am geeignetsten.

Zur Detektion wurden benutzt (34):

- 1 Kaliumiodoplatinat.
- 2 Dragendorff-Reagenz nach Thies & Reuther und Nachbeschreiben mit einer wässrigen, 50 g/l Eisen(III)-chlorid-Lösung.

UV

He-OH 260 nm (Max.)

IR

700, 1431/1470/1590 cm^{-1} (Clarke I, S. 785)

Schmelzpunkt

100-104°C (Succinat)

GC/MS

EI; CI: Quadrupol; 70 eV

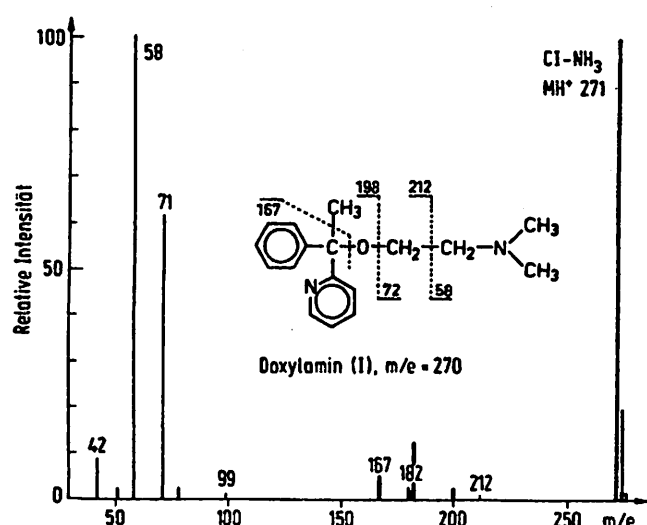


Fig. 1. EI/Cl-NH₃-Massenspektrum des Doxylamin (I); die Spektren sind durch unterschiedliche Strichstärken differenzier

Doxylamin

Biotransformation

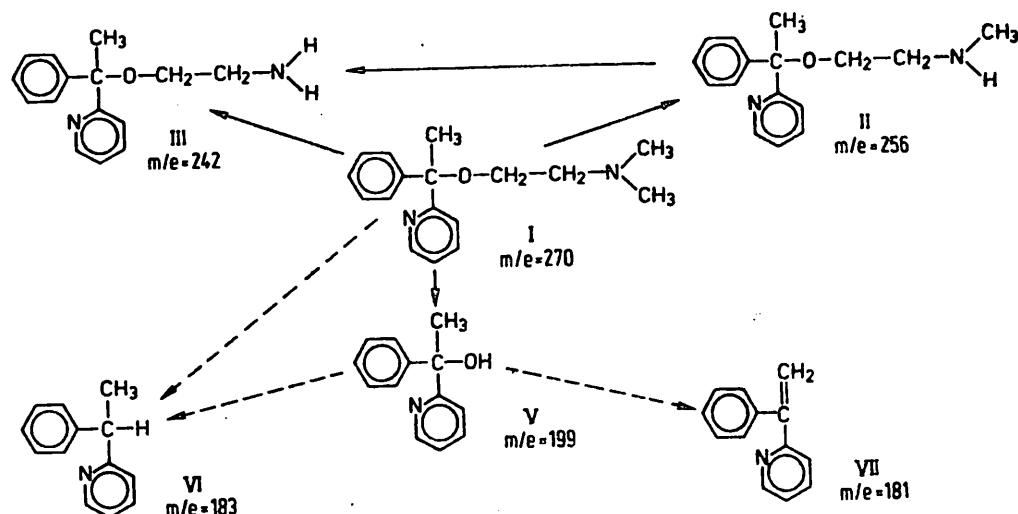


Fig. 4. Übersicht über die im menschlichen Harn, bei der sauren Hydrolyse und der Zersetzung der freien Base nachgewiesenen Abbauprodukte des Doxylamin.

Hauptmetabolit = N-Mono-desmethyl-Doxylamin :

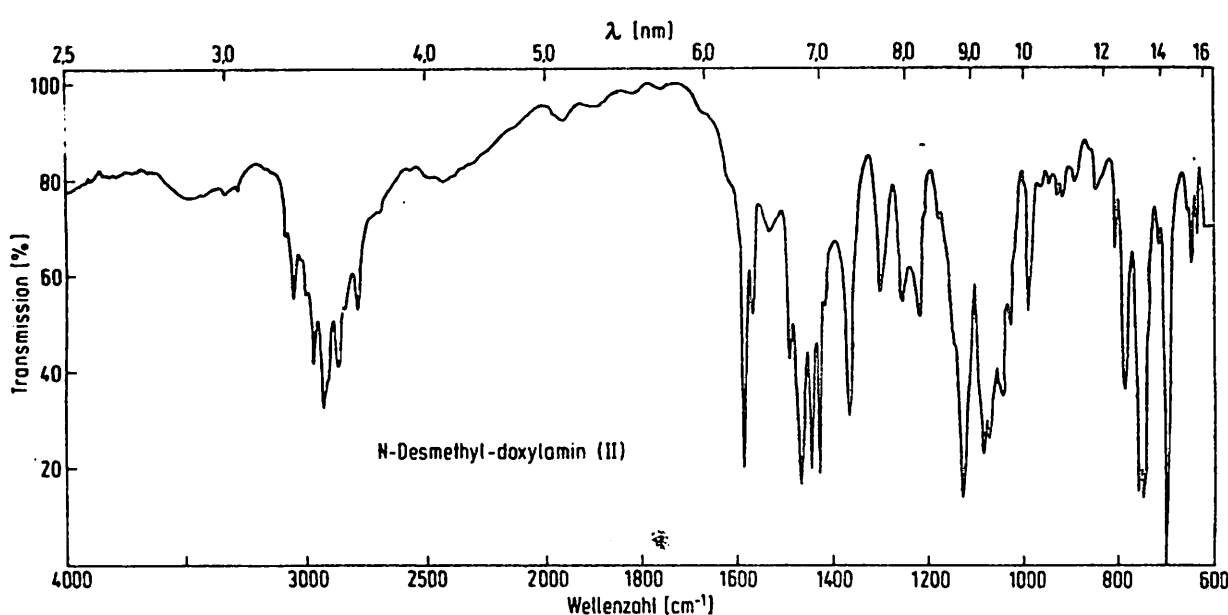
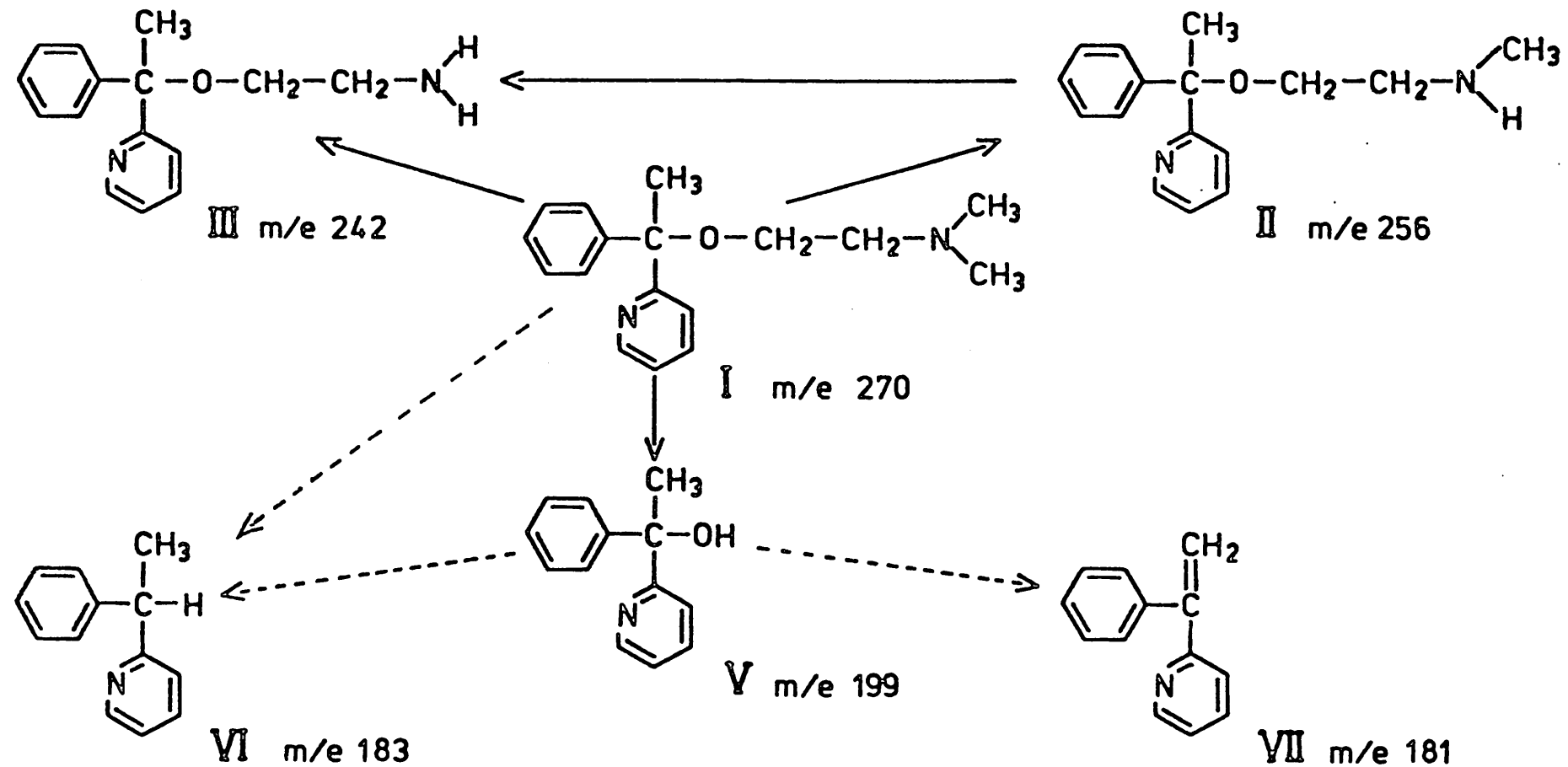


Fig. 3. IR-Spektrum von II.

Doxylamin



Doxylamin

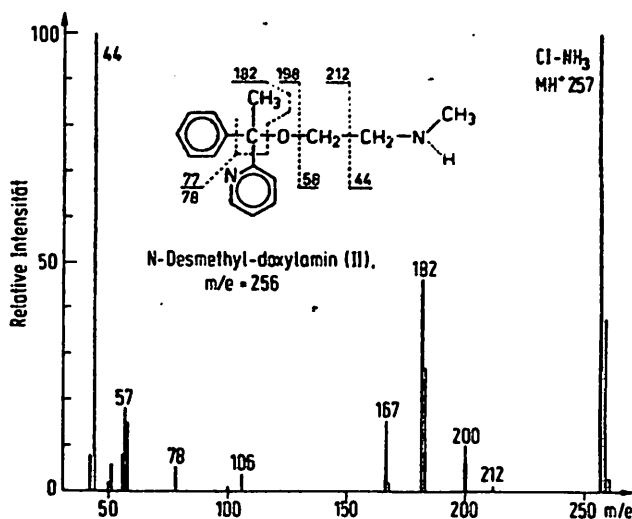


Fig. 2. EI/Cl-NH₃-Massenspektrum des Hauptmetaboliten N-Mono-desmethyl-doxylamin (III); die Spektren sind durch unterschiedliche Strichstärken differenziert.

Tab. 1. Die massenspektrometrischen Kenndaten (EI/CI) der nachgewiesenen Verbindungen.

| Verbindung | M_r | EI Molekülion; starke Ionen | Reaktandgas | CI Quasimolekülion; starke Ionen |
|------------|-----------------------------|---|------------------------------|---|
| | Summen- formel | (m/e; % rel. Int.) | | (m/e; % rel. Int.) |
| III | 242 $C_{15}H_{18}N_2O$ | Bis-trimethylsilyl-Derivat (Cl-NH ₃) 405 (8); 372 (100); 184 (3) | NH ₃ iso-Butan | 243 (10); 200 (15); 184 (100); 155 (2) 243 (40); 171 (5); 114 (100); 85 (79) |
| IV | 284 $C_{17}H_{20}N_2O_2$ | 198 (18); 182 (62); 167 (50); 152 (4); 135 (6); 86 (100); 78 (24); 72 (17); 58 (36) | NH ₃ iso-Butan | 285 (78); 184 (100); 104 (82) 285 (100); 180 (48); 104 (70) |
| V | 199 $C_{13}H_{13}NO$ | 199 (48); 182 (37); 167 (3); 156 (10); 122 (27); 105 (18); 79 (58); 51 (34); 43 (100) | NH ₃ iso-Butan | 200 (70); 184 (60); 182 (100); 122 (38) 200 (100); 182 (70); 167 (2) |
| VI | 183 $C_{13}H_{13}N$ | 183 (42); 182 (100); 167 (54); 106 (24); 77 (38); 51 (42) | NH ₃ Methan | 184 (100); 108 (4) 184 (100); 212 (20); 106 (5) |
| VII | 181 $C_{13}H_{11}N$ | 181 (24); 180 (100); 152 (8); 103 (3); 77 (15); 63 (2); 51 (20) | NH ₃ Methan | 182 (100); 108 (6) 182 (100); 210 (15); 167 (3); 106 u. 79 (2) |

Literatur: Gießendorf/Schubert, D.Clin.Chem.Clin.Biochem. 19, 485 (1981)